

Напряжение в УВ, ГПа	Скорость волны сжатия, км/с		Скорость волны разреже- ния, км/с	
	$c_L$	$c_\Theta$	$c_L$	$c_\Theta$
15	9,4+0,9	6,0+0,6	9,4+1,0	5,8+0,6
27	10,0±1,4	5,8+0,8	10,3±0,7	5,5+0,4

волны) аппроксимировались линейной функцией  $t(h)$ . Величины, обратные тангенсам углов наклона полученных прямых, принимались за лагранжеву скорость звука  $c_L$ . Соответствующая эйлерова скорость звука рассчитывалась по соотношению  $c_\Theta = (\rho_0/\rho)c_L$  ( $\rho_0$ ,  $\rho$  — начальная и текущая плотность вещества). Для определения  $\rho$  проводился лагранжев анализ профилей напряжение — время. Полученные данные приведены в таблице.

Из полученных результатов следует, что скорости волны сжатия и волны разрежения совпадают в пределах ошибки измерения, поэтому импульс сжатия движется по фторопласту практически стационарно. Обращает на себя внимание и тот факт, что, несмотря на увеличение напряжения в УВ от 15 до 27 ГПа, скорость волны сжатия не возросла. В то же время расчет по уравнению Ми — Грюнайзена с использованием ударной адиабаты фторопласта в виде  $u_s = 1,696 + 1,663u_p$  ( $u_s$  — скорость УВ,  $u_p$  — массовая скорость) дает для этих точек возрастание скорости звука от 5,5 до 7,4 км/с. Это может свидетельствовать об изменении структуры полимера с ростом давления в УВ, что косвенно подтверждается и появлением заметной проводимости во фторопласте в этом диапазоне давлений [4].

Работа выполнена по гранту Ученого совета Института гидродинамики им. М. А. Лаврентьева СО РАН.

#### ЛИТЕРАТУРА

1. McQueen R. G., Fritz J. N. et al. The velocity of sound behind strong shock waves in 2024 Al // Shock waves in condensed matter/Ed. by J. Asay et al.— Amsterdam: North — Holland Phys. Pub., 1984.— P. 95—98.
2. Brown J. M., Shaner J. W. Rarefaction velocities in shocked tantalum and the high pressure melting point // Ibid.— P. 91—94.
3. Дремин А. Н., Канель Г. И. Волны сжатия и разрежения в ударно-сжатых металлах // ПМТФ — 1976.— № 2.— С. 146.
4. Бордзиловский С. А., Каражанов С. М. Электроизоляционные свойства фторопластовых прокладок при динамическом сжатии // ФГВ.— 1990.— 26, № 4.— С. 124.

г. Новосибирск

Поступила в редакцию 14/XI 1991

УДК 539.3

Л. А. Мержиевский, А. Д. Реснянский

#### О МОДЕЛИРОВАНИИ ДИНАМИЧЕСКОГО ДЕФОРМИРОВАНИЯ СФЕРОПЛАСТИКА

Полимерный композитный материал сферопластик (СП) состоит из полых стеклянных микросфер, залитых эпоксидным связующим. Благодаря своеобразным свойствам — малой плотности при относительно высоких прочностных характеристиках — этот материал нашел широкое применение в технике [1]. Хорошо изучены прочностные характеристики СП в условиях статического нагружения [2, 3], динамическая диаграмма сжатия определена в [4].

Для описания деформирования СП чаще всего применяется модель упругого тела, специфические свойства материала в которой передаются путем конструирования эффективных модулей упругости [5, 6]. Здесь предлагается использовать модель вязкоупругого тела максвелловского типа, хорошо проявившую себя при описании динамического деформирования металлов [7].

Будем считать СП однородной сплошной средой, характеристики которой получаются в результате осреднения параметров по элементарному объему, содержащему достаточное количество микросфер. Дифференциальные уравнения модели включают общие для любой сплошной среды законы сохранения и уравнения эволюции компонент тензора деформаций [7, 8]. Для замыкания системы уравнений требуются зависимости для удельной упругой энергии при нешаровом тензоре деформаций и для времени релаксации касательных напряжений  $\tau$ . С помощью данных зависимостей конкретизируется рассматриваемая среда. Первая зависимость строилась по экспериментальным данным по ударному сжатию эпоксидной смолы [9] в предположении, что запасенная при сжатии энергия распределяется по осредненному с учетом наличия полых микросфер эффективному объему.

Для построения зависимости для времени релаксации использована разработанная и апробированная для металлов методика, базирующаяся на экспериментальных  $(\sigma - \varepsilon)$ -диаграммах [10]. При этом функциональный вид зависимости устанавливается на основе физических представлений о процессах, вызывающих релаксацию. Логично предположить, что релаксация касательных напряжений в СП определяется двумя совместно протекающими процессами, отличающимися характерным масштабом: разрушение микросфер и упруговязкая релаксация в полимерном материале. Для каждого из процессов определяющим является механизм термической активации [11], вследствие чего можно принять

$$\tau = \tau_0 \exp(F(\sigma)/kT), \quad (1)$$

где обычно  $F(\sigma) = U - \alpha\sigma$ ;  $U$  — энергия активации процесса;  $\sigma$  — напряжение;  $\alpha$  — структурно-чувствительный коэффициент;  $T$  — температура;  $k$  — постоянная Больцмана.

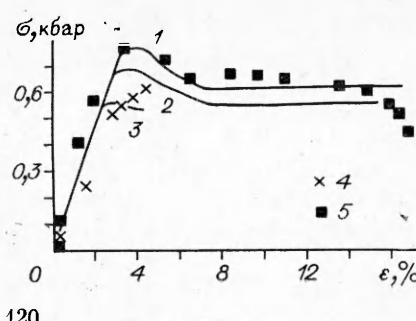
Ввиду существования упоминавшихся выше двух масштабов процессов, определяющих релаксацию, предположим, что в процессе деформирования масштабный коэффициент изменяется от одного характерного значения к другому:

$$\begin{aligned} \alpha &= \alpha_0 + \alpha_1 && \text{при } \delta < -\delta_0, \\ \alpha &= \alpha_0 - \alpha_1 (\delta/\delta_0) && \text{при } -\delta_0 \leq \delta \leq \delta_0, \\ \alpha &= \alpha_0 - \alpha_1 && \text{при } \delta > \delta_0. \end{aligned} \quad (2)$$

Здесь  $\delta = \ln(\rho/\rho_0)$ ;  $\rho_0$ ,  $\rho$  — начальная и текущая средняя плотность материала;  $\alpha_0$ ,  $\alpha_1$  — постоянные.

Расчетные  $(\sigma - \varepsilon)$ -диаграммы для различных скоростей деформации  $e$ , полученные с использованием зависимостей (1), (2), параметры которых выбраны по методике [10], приведены на рисунке ( $e$ ,  $\text{с}^{-1}$ :  $3 \cdot 10^3$  (1),  $10$  (2),  $10^{-2}$  (3),  $\alpha_0 = 0,85 \cdot 10^{-18} \text{ мм}^3$ ,  $\alpha_1 = 0,1\alpha_0$ , 4, 5 — экспериментальные статическая и динамическая (при  $e \approx 2,7 \cdot 10^3 \text{ с}^{-1}$  [4]) диаграммы сжатия). Как следует из сравнения, расчет хорошо передает особенности экспериментальной динамической диаграммы сжатия, включая «горб» [10] напряжений при  $\varepsilon \approx 4\%$ .

В расчете не проявляется наблюдающееся в экспериментах различие модулей упругости статического и динамического сжатия. Учет данного обстоятельства



нетрудно осуществить, введя в уравнение упругой энергии соответствующее изменение модуля сжатия (или скорости звука) с ростом плотности. В целом приведенный результат свидетельствует о перспективности применения модели вязкоупругого тела максвелловского типа для решения задач динамического деформирования сферопластика.

#### ЛИТЕРАТУРА

1. Красникова Т. В. Энциклопедия полимеров.— М.: Сов. энцикл., 1974.— № 2.— С. 617—620.
2. Баев Л. В., Давыда С. В., Кржечковский П. Г. и др. Исследование прочности дисперсно-армированного материала при сложном напряженном состоянии // Механика композит. материалов.— 1987.— № 2.— С. 348—350.
3. Стеликов И. Е., Крицук А. А. Исследование физико-механических свойств пластика, наполненного микросферами // Прикладная механика.— 1985.— 21, № 5.— С. 126—128.
4. Пластиин А. В., Сильвестров В. В., Горников И. И. Определение динамической диаграммы сжатия сферопластика // Механика композит. материалов.— 1980.— № 3.— С. 451—454.
5. Кристенсен Р. Введение в теорию вязкоупругости.— М.: Мир, 1974.— 340 с.
6. Ванин Г. А., Стеликов И. Е. Упругие постоянные и вязкоупругость среды с полыми сферическими включениями.— Рук. деп. в ВИНИТИ, № 5199-В87.— 12 с.
7. Мерхиевский Л. А., Реснянский А. Д. Численное моделирование ударно-волновых процессов в металлах // ФГВ.— 1984.— 20, № 5.— С. 114—122.
8. Годунов С. К. Элементы механики сплошной среды.— М.: Наука, 1978.— 304 с.
9. Van Thiel. Compendium of shock wave data. Lawrence Livermore Lab., UCRL-50108, 1977.— V. 3.
10. Мерхиевский Л. А., Шамонин С. А. Построение зависимости времени релаксации касательных напряжений от параметров состояния среды // ПМТФ.— 1980.— № 5.— С. 170—179.
11. Степанов В. А., Песчанская Н. И., Шнейzman В. В. Прочность и релаксационные явления в твердых телах.— Л.: Наука, 1984.— 246 с.

г. Новосибирск

Поступила в редакцию 5/XII 1991

УДК 624.131 + 532.215 + 534.22

B. F. Нестеренко

#### НЕЛИНЕЙНЫЕ ВОЛНЫ В «ЗВУКОВОМ ВАКУУМЕ»

Распространение возмущений в дискретных сильнолинейных средах, где нелинейность играет основную роль, а не служит малой поправкой к линейному описанию, теоретически и экспериментально исследовалось в работах [1—3]. Обнаружено, что для систем частиц взаимодействующих по закону  $F = A\delta^{3/2}$ , где  $\delta$  — сближение центров, возможно существование уединенных волн нового типа, в которых максимальная деформация  $\xi_{\max}$  много больше начальной  $\xi_0$ . Последние могут трансформироваться в классические солитоны уравнения Кортевега — де Бриза (КdВ) и в звуковые волны при  $\xi_{\max} \approx \xi_0 > 0$ . Для таких сред длинноволновая скорость звука  $c_0 \rightarrow 0$  при  $\xi_0 \rightarrow 0$ , поэтому при данном условии по сути рассматривается распространение возмущений в своеобразном «звуковом вакууме».

Представляет интерес выяснить поведение волн в подобных средах в общем случае при показателе степени в законе взаимодействия соседних частиц  $n \neq 3/2$  на примере простейших одномерных структур.

Запишем уравнение движения  $i$ -й частицы

$$\ddot{u}_i = A(u_{i-1} - u_i)^n - A(u_i - u_{i+1})^n, \quad N \geq i \geq 2, \quad (1)$$

где  $u_i$  — смещение частицы из положения равновесия  $A$  — константа взаимодействия;  $N$  — число частиц. Считая, что характерный пространственный размер возмущения  $L \gg a$  ( $a$  — расстояние между центрами частиц в недеформированной системе), из (1) можно получить, анало-